

III-82 岩盤割れ目中への降雨浸透機構の解析

埼玉大学 工学部 渡辺邦夫
埼玉大学 大学院 ○村田均

はじめに

降雨に伴って発生する岩盤斜面崩壊や、軟岩地帯での地滑りなどの現象を解明するためには、まず、表土から岩盤中、特に割れ目中の降雨浸透現象を明かにしておくことが必要である。筆者らは、表土から岩盤割れ目中の浸透現象を、主に実験によって調べてきた^{1), 2)}。今回の研究は、それらの実験的検討を基礎にして、表土-割れ目界面付近の流れを、飽和-不飽和浸透流解析によって調べたものである。

1. 表土から岩盤割れ目中の降雨浸透特性

筆者らは、表土から岩盤割れ目中の

降雨浸透メカニズムを、図-1に模式的に示す実験装置を用いて調べている²⁾。

実験装置は、下部に4本の細いダクト(断面1cm×3cm)を持つ2次元的な土槽である。土槽は表土を表し、各ダクトには、種々の材料を充填して、いわゆる「充填割れ目」を表している。この装置

表土部に、上方より種々の強度、継続時間の降雨を与え、表土から各割れ目モ

デルへの浸透特性を調べた。実験例を図-2(a),(b)に示す。この図は、図-1中のA~Dの各ダクトに、Aローム、B火山岩質細砂、C細粒ろか砂、D粗粒ろか砂を充填したケースである。各材料の飽和透水係数は、A: 3×10^{-4} cm/s、B: 2.8×10^{-2} cm/s、C: 7.3×10^{-2} cm/s、

D: 0.48cm/sである。また、表土としては標準砂をつめた。

図-3に、各材料の含水比-サクション圧関係を示す。図-2(a),(b)は、17.6mm/h, 117.4mm/hの降雨を、それぞれ、図中に示す時間与えた時の各割れ目からの流出特性を示す。割れ目モデルA, Bからは、これらの降雨強度よって、流出ピークなど

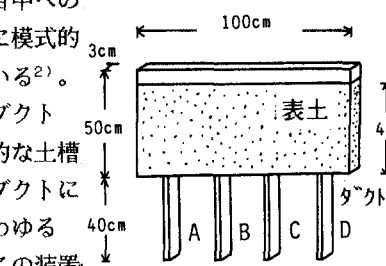


図-1 実験装置模式図

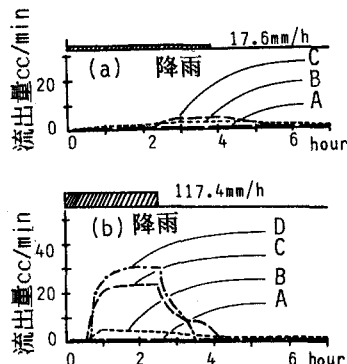


図-2 実験結果例

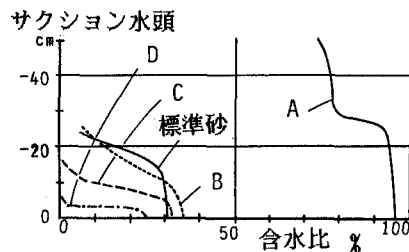


図-3 充填物のサクション特性

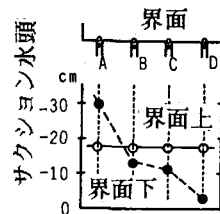


図-4 界面上下のサクション水頭

はあまり変わらないが、C、D特にDは、降雨強度の影響を強く受け、(b)のように高強度降雨時において大量の流出が認められる。このことは、表土中の降雨が、(b)においては、より多く、高透水性割れ目に流入することを示している。つまり、割れ目流入量に降雨強度の依存性があるといえる。なお、図-4は、図-2(a)の降雨停止3時間後の、表土-割れ目界面上・下のサクション水頭である。Aの界面下のサクション水頭のみが、表土下底面水頭より小さく、この割れ目にのみ長く浸透していることがわかる。

2. 浸透解析方法と解析結果

次に、実験によって明らかになった浸透特性を、解析的に調べることを試みた。まず解析対象場としては、図-5に示されるように、表土のみを取り出し、その中の流れを飽和-不飽和浸透流解析により調べる。割れ目の影響は、表土下底面上の割れ目との界面位置に、一定のサクション水頭 $HC(I)$ ($I=1, N$)を与えることにより表現した。ここに、 N は割れ目数である。 $HC(I)$ は、図-4中のB, C, D割れ目に示されるような、割れ目への浸透が停止した後の、界面直下水頭を意味している。 $HC(I)$ が、表土下底面上水頭より大きい時、界面を通る流れは0とする。表土中に降雨が浸透し、表土下底面上の水頭が、 $HC(I)$ を越えたときに、割れ目への浸透が開始する。この時の浸透量を $QF(I)$ と書く。

一方、各割れ目には、各々の透水係数で定まる最大流下可能量 $QD(I)$ があり、 $QF(I)$ が $QD(I)$ を越えた時、割れ目浸透量は $QD(I)$ になるものと考える。もちろん、これらの仮定、とりわけ、界面直下の割れ目に、 $HC(I)$ の一定サクション水頭が加わるといった設定には、降雨の浸透開始後などにおいて、まだ問題もあるが、今回近似的にこのような条件設定を行って解析した。

解析は、前述の実験ケースをある程度想定して行った。図-2(a), (b)にほぼ対応する条件の結果を図-6(a), (b)に示す。ただし、(a)は30mm/hの雨を1時間降らせた場合であり、(b)は120mm/hの雨を15分降らせた場合である。つまり、これらのケースでは総降雨量は等しく、降雨強度のみ異なることとなる。初期条件としては、表土内に-25cmの一定水頭を与え、 $HC(I)$ としては、A: -30cm, B: -15cm, C: -10cm, D: -3cmとした。これらは、降雨条件以外、実験ケースとほぼ合致した条件である。各材料の飽和度-不飽和透水係数比関係について、標準砂の関係を準用した。そのため、ロームなどの粘土質の材料の場合、異なる可能性も残っている。図-6(a), (b)にみられるように、総降雨量は同じでも、(b)の場合、高透水性割れ目Dへの流量が、ピーク、総量ともに極めて大きいことがわかる。解析結果を全体的にみて、このことや、あるいは、降雨停止後の各割れ目への流入量低減特性は、よく実験と合致していることが認められる。図-7(a), (b)は、図-6(a), (b)の降雨停止時の表土内ボテンシャル分布を示している。この図から、(b)の短時間、高強度降雨の場合、浸透した降雨が割れ目を通して十分排水されず、(a)に比べて極めて高いボテンシャル値となっていることがわかる。このことが、割れ目Dを通る大きな流量をもたらしたものと考えられる。

以上から、今回の解析によって実験結果がある程度表現しうること、および、表土から割れ目への浸透機構に、降雨強度の影響が極めて大きいことが明らかになった。ただ、計算条件の設定にまだ問題もあり、今後その点についてさらに検討し、実岩盤への適用を考えてゆきたい。

参考文献 1) Watanabe K., Tamai N., Proc. APD-IAHR, pp.1195-1208, 1982

2) 渡辺邦夫、村田均、芥川真知、第23回土質工学研究発表会論文集、1988

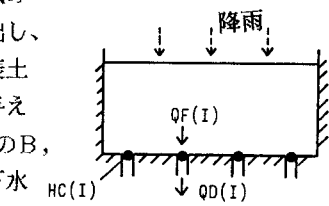


図-5 解析条件

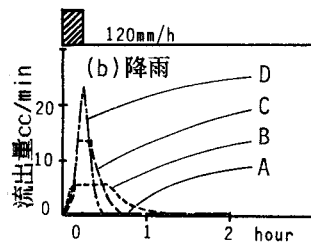
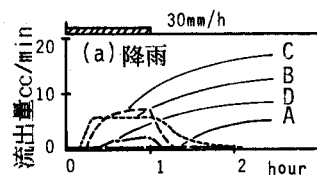


図-6 解析結果

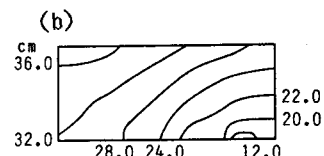
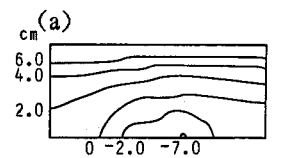


図-7 解析したボテンシャル分布